

การพัฒนาระบวนการผลิตเม็ดเชื้อเพลิงถ่านเรเนียม ได้ออกไซด์ไมโครส เพียร์  
โดยวิธีเอกซ์เทอร์นัล เจ เลชัน



นายสุพจน์ ภูชานา

วิทยานิพนธ์นี้ เป็นส่วนหนึ่งของการศึกษาตามหลักสูตรปริญญาวิศวกรรมศาสตรมหาบัณฑิต

ภาควิชานิวเคลียร์ เทคโนโลยี

บัณฑิตวิทยาลัย จุฬาลงกรณ์มหาวิทยาลัย

พ.ศ. 2530

ISBN 974-568-441-4

ลิขสิทธิ์บัณฑิตวิทยาลัย จุฬาลงกรณ์มหาวิทยาลัย

013053

1029641X

DEVELOPMENT OF UO<sub>2</sub> MICROSPHERE PRODUCTION PROCESS  
BY EXTERNAL GELATION METHOD

Mr. Supod Poochaona

A Thesis Submitted in Partial Fulfillment of the Requirements

for the Degree of Master of Engineering

Department of Nuclear Technology

Graduate School

Chulalongkorn University

1987

ISBN 974-568-441-4

ทวัช้อวิทยานิพนธ์ การพัฒนาระบวนการผลิต เม็ด เชือ เพลิงยูเรเนียม ไดออกไซด์ในโครงสร้าง  
โดยวิธีเอกสาร์ เทอร์นัล เจ เลชัน

โดย นายสุพจน์ อุษารานา

ภาควิชา นิวเคลียร์ เทคโนโลยี

อาจารย์ที่ปรึกษา ผู้ช่วยศาสตราจารย์ ชยากฤต ศิริอุปถัมภ์



บัณฑิตวิทยาลัย จุฬาลงกรณ์มหาวิทยาลัย อนุญาตให้นับวิทยานิพนธ์นี้ เป็นส่วนหนึ่งของ  
การศึกษา ตามหลักสูตรปริญญามหาบัณฑิต

.......... คณบดีบัณฑิตวิทยาลัย  
(ศาสตราจารย์ ดร. ภาวร วัชราภัย)

คณะกรรมการสอบวิทยานิพนธ์

.......... ประธานกรรมการ  
(ศาสตราจารย์ สุวรรณ แสงเพ็ชร์)

.......... อาจารย์ที่ปรึกษา  
(ผู้ช่วยศาสตราจารย์ ชยากฤต ศิริอุปถัมภ์)

.......... กรรมการ  
(ศาสตราจารย์ ดร. เมธ์จ ลิทธิสุนทร)

.......... กรรมการ  
(ผู้ช่วยศาสตราจารย์ ศิริวัฒนา ไทรสมบูรณ์)

สุพจน์ ภูชานา : การพัฒนากระบวนการผลิตเม็ดเชือเพลิงยูเรเนียม โดยอุกซ์ไซด์-ไนโตรสเฟียร์ โดยวิธีเอกซ์เทอร์นัล เจเลชัน (DEVELOPMENT OF UO<sub>2</sub> MICROSPHERE PRODUCTION PROCESS BY EXTERNAL GELATION METHOD) อ.พีริกษา : พศ. ขยายกริต ศิริอุปถัมภ์, 106 หน้า.

ได้ทำการทดลองผลิตเม็ดเชือเพลิงยูเรเนียม โดยอุกซ์ไซด์ไนโตรสเฟียร์ โดยวิธีเอกซ์เทอร์นัล เจเลชัน วิธีนี้ใช้โซลชีงประกอนด้วยสารละลายยูเรนิล ในเครท เมทอเซล เทหารไโดยร์ฟอวิล แอลกอฮอล์ และกรดในทริกผ่านหลอดครูเล็ก เพื่อให้เกิดเป็นเจลในไครสเฟียร์ ได้มีการศึกษาถึงขนาดของเจลในไครสเฟียร์จากหลอดครูเล็กที่มีขนาดต่าง ๆ ที่ความเข้มข้นของโซลนีน การทำให้แห้งและการเผาที่อุณหภูมิสูง ปริมาณคาร์บอน อัตราส่วน O/U และความหนาแน่นของไครสเฟียร์หลังจากการเผาที่อุณหภูมิสูง และการเผาประสาน

ผลการทดลองได้ความเข้มข้นของโซล เป็น 0.86 มอลของยูเรเนียมต่อลิตร ผ่านหลอดครูเล็ก เส้นผ่าศูนย์กลาง 0.6 - 1.0 มิลลิเมตร หยดลงในสารละลายแอมโนเนียมเข้มข้น ซึ่งบรรจุอยู่ในคอลัมน์แก้วขนาดเส้นผ่าศูนย์กลาง 3 เซนติเมตร สูง 100 เซนติเมตร จะได้หยดโซลที่มีขนาดระหว่าง 2.1 - 3.0 มิลลิเมตร หลังจากการล้าง การทำให้แห้ง และการเผาที่อุณหภูมิสูง และสุดท้ายเผาประสานในบรรยายการของกําช้อาร์กอนผสม 4 เปอร์เซ็นต์ของกําชไโดยรเจนที่อุณหภูมิ 1200 องศาเซลเซียส เป็นเวลา 2 - 3 ชั่วโมง ได้ไครสเฟียร์มีขนาดเส้นผ่าศูนย์กลางอยู่ในช่วง 0.8 - 1.1 มิลลิเมตร ปริมาณคาร์บอนเฉลี่ยลดลงจาก 1.251% ก่อนการเผาเป็น 0.164% อัตราส่วนของ O/U มีค่าระหว่าง 2.00 - 2.19 และความหนาแน่นอยู่ในช่วง 73.18% ถึง 85.86% ของความหนาแน่นตามทฤษฎี



ภาควิชา ..... นิวเคลียร์เทคโนโลยี  
สาขาวิชา ..... นิวเคลียร์เทคโนโลยี  
ปีการศึกษา ..... 2530

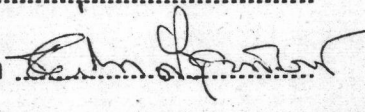
ลายมือชื่อนิสิต ..... นิตยา บราhma  
ลายมือชื่ออาจารย์ที่ปรึกษา ..... *Ram Rukkha*

SUPOD POOCHAONA : DEVELOPMENT OF  $\text{UO}_2$  MICROSPHERE PRODUCTION  
PROCESS BY EXTERNAL GELATION METHOD. THESIS ADVISOR : ASSO. PROF.  
CHYAGRIT SIRI-UPATHUM, 106 PP.

Experiments on production of uranium dioxide microspheres by external gelation method were conducted. This method, gel microspheres were formed by compressing sol prepared by using uranyl nitrate solution, methocel, tetrahydrofurfuryl alcohol and nitric acid through a capillary nozzle. The studies included : Gel microsphere size distribution from various pore sizes of capillary nozzles and sol concentration, method of drying and sintering of microspheres, carbon contents, O/U ratio and density of the microsphere products after calcining and sintering.

The results revealed that for the sol concentration of 0.86 mole U/litre, capillary nozzle diameter of 0.6 - 1.0 mm dropped sol into concentrated ammonium hydroxide solution in a glass column of 3 cm diameter, 100 cm high, sol drop size between 2.1 - 3.0 mm were obtained. After washing, drying and finally sintering in Ar-4%  $\text{H}_2$  at 1200 °C, 2 - 3 hrs, the microspheres sizes obtained were 0.8 - 1.1 mm in diameter, the average carbon contents of microspheres were reduced from 1.251% before sintering to 0.164%, the ratio of O/U were 2.00 - 2.19 and densities were in the range of 73.18% to 85.86% of theoretical density.

ภาควิชา ..... นิวเคลียร์ เทคโนโลยี  
สาขาวิชา ..... นิวเคลียร์ เทคโนโลยี  
ปั๊กการศึกษา ..... ๒๕๘๖...

ลายมือชื่อนิสิต ..... จันทร์ พชรบุรี  
ลายมือชื่ออาจารย์ที่ปรึกษา ..... 



กิตติกรรมประการ

ขอขอบพระคุณศาสตราจารย์สุวรรณ แสงเพชร์ รองศาสตราจารย์ ดร.อังษัย สุมิตร ที่ได้กรุณาให้การสนับสนุนในงานวิจัย เรื่องนี้ ขอขอบพระคุณผู้ช่วยศาสตราจารย์ ชัยากริด ศิริอุปัลลภ อาจารย์อุพิชชา จันทร์ไอย่า ผู้ช่วยศาสตราจารย์ศิริวัฒนา ไทรสมบูรณ์ ที่ได้กรุณาให้คำปรึกษา แนะนำ และแก้ปัญหาในการทำวิทยานิพนธ์นี้ เรื่องสมบูรณ์ ขอขอบคุณ สูนย์เครื่องมือวิจัยวิทยาศาสตร์และเทคโนโลยี จุฬาลงกรณ์มหาวิทยาลัย ที่ให้ความช่วยเหลือ ในด้านการวิเคราะห์ปริมาณการบ่อน และขอบคุณนราาอากาศโททภูึง เจ้อจันทร์ วิมล ใจ กองวิทยาการ กรมช่างอากาศ ที่ให้ความช่วยเหลือในเรื่องการรับค่าความหนืด

ขอบคุณ ดร.อังษัย ชัยากริด คุณสมนึก บุญพาใส่ คุณสุจิตรา กิจประเสริฐ และคุณอรุณี ออาจขำ ที่ให้การสนับสนุนในงานวิจัย เรื่องนี้

สุดท้ายนี้ขอบคุณบัณฑิตวิทยาลัยที่ให้ทุนอุดหนุนการวิจัยในครั้งนี้



สารบัญ

หน้า

|                          |   |
|--------------------------|---|
| บทคัดย่อภาษาไทย .....    | ๕ |
| บทคัดย่อภาษาอังกฤษ ..... | ๖ |
| กิตติกรรมประกาศ .....    | ๗ |
| สารบัญตาราง .....        | ๘ |
| สารบัญรูปประกอบ .....    | ๙ |

บทที่

|   |    |
|---|----|
| 1 บทนำ .....                                    | 1  |
| 1.1 ประวัติความ เป็นมา .....                    | 1  |
| 1.2 แนว เหตุผลทฤษฎีที่ สำคัญหรือสมมุติฐาน ..... | 1  |
| 1.3 วัตถุประสงค์ของ การวิจัย .....              | 3  |
| 1.4 ขอบเขตของการวิจัย .....                     | 3  |
| 1.5 การดำเนินการวิจัย .....                     | 3  |
| 2 การศึกษาทฤษฎีเบื้องต้น .....                  | 4  |
| 2.1 เรื่องทั่วไปเกี่ยวกับ บัญชี เนียน .....     | 4  |
| 2.2 กระบวนการ โซล-เจล .....                     | 10 |
| 2.3 สมบัติของ ไมโครสไฟเยอร์ .....               | 13 |
| 3 เอกซเทอร์นัล เจเลชัน .....                    | 15 |
| 3.1 กระบวนการของ SNAM .....                     | 15 |
| 3.1.1 การ เตรียม โซล .....                      | 17 |
| 3.1.2 การ ทำให้ เกิดสไฟเยอร์ และ เจเลชัน .....  | 20 |
| 3.1.3 เอจิ้งก์ การล้าง และ การดึงน้ำออก .....   | 22 |
| 3.1.4 การ ทำให้ แห้ง .....                      | 23 |
| 3.1.5 การ เผา และ การ เผาประسان .....           | 23 |

## สารบัญ (ต่อ)

| บทที่ |  | หน้า |
|-------|--|------|
|       | <b>สารบัญ (ต่อ)</b>                            |      |
| 3.2   | กระบวนการ KFA.....                             | 29   |
| 3.2.1 | การเตรียมโซล.....                              | 29   |
| 3.2.2 | การเกิดหยดและเจเลชัน.....                      | 31   |
| 3.2.3 | การล้างและอ่องกิ้ง.....                        | 31   |
| 3.2.4 | การทำให้แห้งและการเผาประسان.....               | 32   |
| 3.3   | กระบวนการ Harwell.....                         | 35   |
| 3.3.1 | การเตรียมโซล.....                              | 35   |
| 3.3.2 | การทำให้เกิดสเพียร์และการล้าง.....             | 36   |
| 3.3.3 | การทำให้แห้งและการเผาที่อุณหภูมิสูง.....       | 36   |
| 3.4   | กระบวนการ HOBEG.....                           | 39   |
| 3.5   | กระบวนการ NUKEM.....                           | 40   |
| 3.6   | กระบวนการ GA.....                              | 43   |
| 4     | สารเคมีและอุปกรณ์ที่ใช้ในการทดลอง.....         | 47   |
| 4.1   | สารเคมี.....                                   | 47   |
| 4.2   | อุปกรณ์และวัสดุ.....                           | 48   |
| 5     | การดำเนินการทดลอง.....                         | 50   |
| 5.1   | การเตรียมโซล.....                              | 50   |
| 5.2   | การทำให้เกิดหยด.....                           | 50   |
| 5.3   | การล้าง.....                                   | 52   |
| 5.4   | การทำให้แห้ง.....                              | 52   |
| 5.5   | การเผาที่อุณหภูมิสูง.....                      | 52   |
| 5.6   | การวิเคราะห์หาปริมาณคาร์บอนในไฮดรัสเพียร์..... | 52   |
| 5.7   | การวิเคราะห์หาความหนาแน่นของไฮดรัสเพียร์.....  | 53   |

## สารบัญ (ต่อ)

| บทที่ |   | หน้า |
|-------|---|------|
| 5.8   | การวิเคราะห์หาความเข้มข้นของยูเรเนียมในโซล.....           | 55   |
| 5.9   | การคำนวณหา เส้นผ่าศูนย์กลางโดยเฉลี่ยของ thyroidโซล.....   | 59   |
| 5.10  | การวิเคราะห์อัตราส่วนออกซิเจนและยูเรเนียม (O/U ratio).... | 59   |
| 6     | ผลการทดลอง.....   | 62   |
| 7     | สรุปผลการวิจัยและข้อเสนอแนะ.....                          | 75   |
| 7.1   | ขั้นการเตรียมโซล.....                                     | 75   |
| 7.2   | ขั้นการทำให้เกิดสเปียร์.....                              | 75   |
| 7.3   | ขั้นการล้าง การทำให้แห้ง และการเผาประสงาน.....            | 76   |
| 7.4   | ขั้นการวิเคราะห์ปริมาณคาร์บอน.....                        | 77   |
| 7.5   | ขั้นการวิเคราะห์หาความหนาแน่น.....                        | 77   |
| 7.6   | ขั้นการวิเคราะห์อัตราส่วน O/U.....                        | 77   |
| 7.7   | ขั้นการวิเคราะห์ขนาดของไมโครสเปียร์.....                  | 77   |
| 7.8   | ข้อดีและข้อเสียของกระบวนการต่าง ๆ .....                   | 78   |
| 7.9   | ข้อเสนอแนะ.....   | 79   |
|       | เอกสารอ้างอิง.....  | 81   |
|       | ภาคผนวก.....  | 85   |
|       | ประวัติผู้เขียน.....                                      | 106  |

## สารบัญตาราง

| ตารางที่   | หน้า |
|--|------|
| 2.1 แสดงจุดหลอมเหลวของ $UO_2$ ในบรรยากาศค้าง ๆ .....   | 9    |
| 3.1 แสดงขนาดและน้ำหนักของ $ThO_2$ ในโครงสร้าง.....   | 36   |
| 3.2 กระบวนการต่าง ๆ ในการผลิตเม็ด เชือเพลิง.....   | 46   |
| 6.1 ความสัมพันธ์ระหว่างขนาดของหลอดครุ เล็กขนาด เส้นผ่าศูนย์กลางของ<br>หยดโซล.....  | 62   |
| 6.2 อัตราการไหลของหยดโซล เมื่อผ่านหลอดครุ เล็กขนาดค้าง ๆ .....   | 62   |
| 6.3 แสดงความสัมพันธ์ของขนาด เส้นผ่าศูนย์กลางของหยดโซลจำนวนเท่าของ<br>การทดสอบ และความหนาแน่น.....                                | 64   |
| 6.4 ความสัมพันธ์ระหว่างเส้นผ่าศูนย์กลางของหยดโซลกับ เส้นผ่าศูนย์กลาง<br>ของไมโครสเฟียร์หลังจากทำให้แห้งและเผาที่อุณหภูมิสูง..... | 64   |
| 6.5 ค่าความหนาแน่นของ $UO_2$ ในโครงสร้างโดยการแทนที่น้ำ.....   | 65   |
| 6.6 ค่าอัตราส่วน O/U ที่อุณหภูมิ $1000^{\circ}C$ .....   | 66   |
| 6.7 ปริมาณร้อยละของการบ่อนในตัวอย่างในโครงสร้าง.....   | 66   |
| 6.8 ความสัมพันธ์ระหว่างความหนืดและเวลาที่ใช้ เมื่อใช้เมทอโซล 100%<br>และยูเรนิล ในเตรท 0.5 มิล.....                              | 67   |
| 6.9 ความสัมพันธ์ระหว่างเปอร์เซ็นต์ของ THFA และค่าความหนืด เมื่อใช้<br>เมทอโซล 1.0% และยูเรนิล ในเตรท 0.5 มิล.....                | 69   |
| 1-ช แสดงอัตราของกระบวนการเกิดหยด .....   | 95   |
| 2-ช ความสามารถในการละลายของยูเรนิลในเตรท .....   | 96   |
| 3-ช คุณสมบัติของยูเรนิลในการทำให้แห้งที่อุณหภูมิ $85^{\circ}C$ .....   | 97   |
| 4-ช คุณสมบัติของยูเรนิลระหว่างเผาที่อุณหภูมิ $450$ และ $550^{\circ}C$ .....  | 97   |
| 5-ช คุณสมบัติของ $UO_2$ ในโครงสร้างที่มีความหนาแน่นสูง .....   | 98   |
| 6-ช คุณสมบัติของ $UO_2$ ในโครงสร้างที่มีความหนาแน่นต่ำ .....   | 98   |
| 7-ช ความสัมพันธ์ระหว่างอุณหภูมิกับความหนาแน่น .....  | 99   |

## สารบัญรูปประกอบ

| รูปที่ |   | หน้า |
|--------|---|------|
| 2.1    | เฟลไซโคะแกรมของออกไซด์ ยูเรเนียม.....   | 5    |
| 2.2    | หน่วยเชลล์ของ $UO_2$ .....  | 6    |
| 2.3    | การเกิดออกซิเดชันของ $UO_2$ ในอากาศ.....  | 7    |
| 2.4    | เฟลไซโคะแกรมของ $UO_2 - U_3O_8$ .....   | 8    |
| 2.5    | พฤติกรรมของ $UO_3$ ระหว่างให้ความร้อน.....  | 12   |
| 2.6    | อัตราส่วน O/U เป็นสีน้ำเงินตามอุณหภูมิ.....   | 13   |
| 3.1    | แผนผังแสดงกระบวนการ เอกซ์เทอร์นัล เจเลชัน.....  | 15   |
| 3.2    | แสดงความสัมพันธ์ระหว่างความหนืดกับเวลา.....   | 18   |
| 3.3    | แสดง 4-HF มีผลต่อความหนืดของสารละลาย.....   | 19   |
| 3.4    | ความสัมพันธ์ระหว่างความหนืดกับ เปอร์เซ็นต์ของ 4HF.....  | 20   |
| 3.5    | เครื่องมือทำให้เกิดหยด.....   | 21   |
| 3.6    | ความสัมพันธ์ระหว่างขนาดของหยด ชีลกับ air flux.....  | 22   |
| 3.7    | $PuO_2$ ในโครงสร้างเส้นผ่าศูนย์กลาง $150 \mu m$ มีความหนาแน่น > 95% TD .....                    | 24   |
| 3.8    | ขนาดของ $UO_2$ เมื่อ (a) Porosity เป็น 2%, (b) Porosity เป็น 10% และ (c) Porosity เป็น 20%..... | 25   |
| 3.9    | ขั้นตอนการผลิตขั้น Wet section และ Dry section.....   | 26   |
| 3.10   | $UO_2$ ในโครงสร้างโดยกระบวนการชีล-เจล.....  | 27   |
| 3.11   | $PuO_2$ ในโครงสร้าง เผาที่อุณหภูมิ $1200^{\circ}C$ .....  | 28   |
| 3.12   | $(U,Pu)O_2$ ในโครงสร้างขนาด (15x) และ (250x) .....  | 28   |
| 3.13   | แผนผังกระบวนการผลิตยูเรเนียม ไดออกไซด์ โดยวิธี KFA .....  | 30   |
| 3.14   | การคุณภาพสเปกตรัมในช่วงที่ตามองเห็น.....  | 31   |
| 3.15   | ความสัมพันธ์ระหว่างขนาดของเจลส์เพียร์กับเวลาและอุณหภูมิ.....                                    | 32   |

สารบัญรูปประกอบ (ต่อ)

| รูปที่   | หน้า |
|--|------|
| 3.16 $\text{UO}_2$ ในโครงสร้าง 98% TD .....  | 33   |
| 3.17 ขั้นตอนในการผลิตไมโครสเฟียร์.....   | 34   |
| 3.18 $\text{UO}_2$ ในโครงสร้าง เส้นผ่าศูนย์กลาง 400 $\mu\text{m}$ (98% TD).....                  | 35   |
| 3.19 $(\text{U},\text{Pu})\text{O}_2$ ในโครงสร้างขนาด (15x) และ (30x) .....                      | 37   |
| 3.20 $\text{UO}_2$ ในโครงสร้างขนาดเส้นผ่าศูนย์กลาง 1048 $\mu\text{m}$ (10x).....                 | 38   |
| 3.21 $\text{ThO}_2$ ในโครงสร้างขนาด 350 $\mu\text{m}$ (98% TD) .....                             | 39   |
| 3.22 $\text{UO}_2$ ในโครงสร้างขนาด (150x) .....  | 40   |
| 3.23 $(\text{U},\text{Th})\text{O}_2$ ในโครงสร้าง.....   | 42   |
| 3.24 $\text{UO}_2$ ในโครงสร้างมีขนาดเส้นผ่าศูนย์กลาง 1150 $\mu\text{m}$<br>(a) 50x (b) 20x ..... | 44   |
| 3.25 $\text{UO}_2$ ในโครงสร้าง เผาที่อุณหภูมิ 1250° C (50x) .....                                | 45   |
| 5.1 เครื่องมือวิเคราะห์ปริมาณคาร์บอน.....  | 53   |
| 5.2 เตาเผาในโครงสร้างในบรรยากาศของ Ar-4% $\text{H}_2$ .....                                      | 60   |
| 5.3 เตาเผาประสานในโครงสร้างเพื่อเพิ่มความหนาแน่น.....  | 60   |
| 5.4 เครื่องมือที่ใช้ทดสอบโซล.....  | 61   |
| 5.5 กล้องจุลทรรศน์.....  | 61   |
| 6.1 ความสัมพันธ์ของอัตราการไหลของโซลกับเส้นผ่าศูนย์กลางของหลอดรูเล็ก                             | 63   |
| 6.2 ความสัมพันธ์ระหว่างความหนืดและเวลาที่ใช้ เมื่อใช้เบอร์เช็นต์ของ<br>THFA ต่าง ๆ กัน.....      | 68   |
| 6.3 ความสัมพันธ์ระหว่างเบอร์เช็นต์ของ THFA และค่าความหนืด.....                                   | 70   |
| 6.4 ในโครงสร้างขนาดเส้นผ่าศูนย์กลาง 1100 ในไมโครเมตร.....  | 71   |
| 6.5 ในโครงสร้างขนาดเส้นผ่าศูนย์กลาง 1000 ในไมโครเมตร.....  | 71   |
| 6.6 ในโครงสร้างขนาดเส้นผ่าศูนย์กลาง 850 ในไมโครเมตร.....   | 72   |
| 6.7 ในโครงสร้างขนาดเส้นผ่าศูนย์กลาง 800 ในไมโครเมตร.....   | 72   |

สารบัญรูปประกอบ (ต่อ)

| รูปที่   | หน้า |
|--|------|
| 6.8 ในโครงสร้างพิเศษขนาดเล็กผ่าศูนย์กลาง 750 ไมโคร เมตร.....   | 73   |
| 6.9 ในโครงสร้างพิเศษที่ยังไม่ได้เลือกขนาด.....   | 73   |
| 6.10 ในโครงสร้างพิเศษที่ยังไม่ได้เลือกขนาด.....  | 74   |
| 6.11 ในโครงสร้างพิเศษที่แตกระหว่างการเผาที่อุณหภูมิสูง.....  | 74   |
| 1-ก แผนผังการเตรียมผู้เรียนโดยออกไซด์ ในโครงสร้างโดยกระบวนการ<br>วอเตอร์ เอกซ์เพรสชัน เจลชัน.....                      | 87   |
| 2-ก แสดงเครื่องมือโดยใช้ บุฟลูอิด นอชชัล.....  | 88   |
| 3-ก $\text{UO}_2$ ในโครงสร้างพิเศษ โดยวิธีวอเตอร์ เอกซ์เพรสชัน เจลชัน ขนาดเล็กผ่า<br>ศูนย์กลาง 150 $\mu\text{m}$ ..... | 90   |
| 4-ก แผนผังการเตรียมผู้เรียนโดยออกไซด์ ในโครงสร้างโดยกระบวนการ<br>อินเทอร์นัล เจลชัน.....                               | 92   |
| 5-ก $\text{UO}_2$ ในโครงสร้างพิเศษ โดยวิธีอินเทอร์นัล เจลชัน ขนาดเล็กผ่าศูนย์กลาง<br>1250 $\mu\text{m}$ (50x) .....    | 94   |
| 1-ข การเปลี่ยนแปลงของ O/U ratio ระหว่างการเผาที่อุณหภูมิสูง .....  | 100  |
| 2-ข การเปลี่ยนแปลงของ grain size .....   | 100  |
| 3-ข พฤติกรรมของ Methocel 90 HG .....   | 101  |
| 4-ข ความสัมพันธ์ระหว่าง 4-HF กับ ยูเรนิล ในเครท .....  | 102  |
| 5-ข $\text{UO}_2$ ในโครงสร้างพิเศษที่แตกระหว่างการเผาที่อุณหภูมิสูง<br>a) 24x b) 48x .....                             | 103  |
| 1-ค การเกิดในโครงสร้างพิเศษโดยใช้เครื่องมือแบบ vertical jetting....  | 104  |
| 2-ค การเกิดในโครงสร้างพิเศษโดยใช้เครื่องมือแบบ horizontal jetting ...  | 105  |